


Butée mécanique MechaLock

Standard (fonction de centrage)

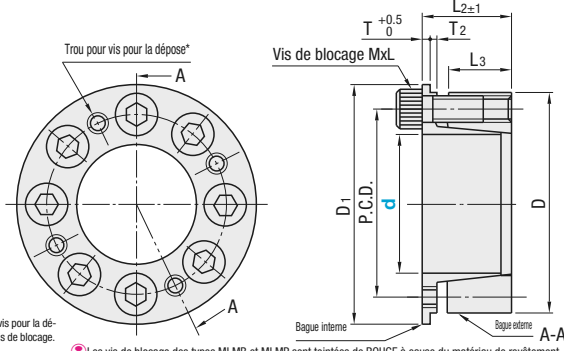
Caractéristiques : plusieurs options de taille, de matériaux et de traitements de surface sont offertes. La fonction de centrage est incluse. C'est la butée mécanique la plus largement utilisée.



MLM
MLMB (oxydé noir)
MLMP (placage autocatalytique au nickel)
MLHS (acier inoxydable)

RoHS

Type	Corps principal	
	Matériau	Traitement de surface
MLM	EN 1.1191 équiv.	-
MLMB	EN 1.1191 équiv.	Revêtement oxydé noir
MLMP	EN 1.1191 équiv.	Placage autocatalytique au nickel
MLHS	EN 1.4301 équiv.	-



Trou pour vis pour la dépose*
Vis de blocage MxL
Bague interne
Bague externe
A-A

* Le diamètre du filetage du trou de vis pour la dépose est le même que celui de la vis de blocage.
* Les vis de blocage des types MLMB et MLMP sont teintées de ROUGE à cause du matériau de revêtement.

Référence pièce		Prix unitaire													
Type	d	D	D1	P.C.D.	L2	L3	T	T2	Vis de verrouillage	MxL					
Type	d	D	D1	P.C.D.	L2	L3	T	T2	MxL	Qté	MLM	MLMB	MLMP	MLHS	
5	16	18.5	11.7	13	8	1.8	1.2	M3x10							
6	19	21.5	14	14.3	9	2.0	1.3	M4x12	4						
8	21	23.5	15.4	14.6	9.3	2.0	1.3	M4x12	4						
10	23	25.5	17.5	14.8	9.5										
11	24	26.5	18.4	15.8	18.0	10.5	2.5	1.5	M4x15	6					
12	26	28.5	20.2	20.1							12.5	3.0	1.8	M5x18	8
14	28	30.5	22.2		24.1	15.3	4.0	2.0	M6x20	10					
15	29	31.5	23.2	27.6							18.3	5.0	2.0	M6x20	12
16	30	33.0	24.2		31.0	20.5	5.0	2.0	M6x20	14					
17	31	33.5	25.2	32.0							21.0	5.0	2.0	M6x20	15
18	32	34.5	26.2		33.5	21.5	5.0	2.0	M6x20	15					
19	33	35.5	27.2	35.5							22.0	5.0	2.0	M6x20	15
20	38	42.0	30.8		36.1	24.0	5.0	2.0	M8x25	14					
22	42	46.0	34.8	36.1							24.0	5.0	2.0	M8x25	14
24	46	50.0	38.8		36.1	24.0	5.0	2.0	M8x25	14					
25	43	47.0	35.8	36.1							24.0	5.0	2.0	M8x25	14
28	46	50.0	38.8		36.1	24.0	5.0	2.0	M8x25	14					
30	48	52.0	40.8	36.1							24.0	5.0	2.0	M8x25	14
32	50	54.0	42.8		36.1	24.0	5.0	2.0	M8x25	14					
35	57	62.0	48.4	36.1							24.0	5.0	2.0	M8x25	14
38	60	65.0	51.4		36.1	24.0	5.0	2.0	M8x25	14					
40	62	67.0	53.4	36.1							24.0	5.0	2.0	M8x25	14
42	64	69.0	55.4		36.1	24.0	5.0	2.0	M8x25	14					
45	67	72.0	58.4	36.1							24.0	5.0	2.0	M8x25	14
48	70	75.0	61.4		36.1	24.0	5.0	2.0	M8x25	14					
50	72	77.0	63.4	36.1							24.0	5.0	2.0	M8x25	14
55	77	83.0	68.4		36.1	24.0	5.0	2.0	M8x25	14					
60	82	87.0	73.4	36.1							24.0	5.0	2.0	M8x25	14
65	87	92.0	78.4		36.1	24.0	5.0	2.0	M8x25	14					
70	97	103.0	86.2	36.1							24.0	5.0	2.0	M8x25	14

MLM
MLMB (Oxydé noir)
MLMP (placage autocatalytique au nickel)
MLHS (acier inoxydable)

Ordering Example
Référence pièce
MLM35

Caractéristiques

- Avec l'avant-trou sur l'embase de la bague intérieure, le serrage de la vis de blocage fait pression sur le D.I. du moyeu. Cela génère un effet contrôlant l'instabilité sur l'extrémité et le D.E. du moyeu (effet de centrage).
- Régler de la phase et positionnement libres.
- Pas de mouvement du moyeu en direction de l'axe lorsqu'il est serré avec une vis de blocage.
- Pas de jeu après le serrage.

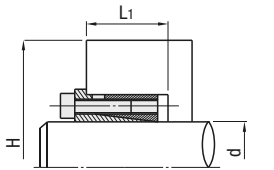
Rugosité de surface et tolérance de l'arbre et du moyeu recommandées

D.E. de l'arbre	h7(g6)	Ra1.6 ou moins
D.I. du moyeu	H7	Ra3.2 ou moins

Charge admissible appliquée à la butée mécanique Pour les étapes de conception, voir **P.1489**.

kgf=Nx0.101972

Type	MLM, MLMB			MLMP			MLHS			Masse (g)
	Couple max. admissible (N·m)	Poussée axiale admissible (kN)	Serrage de la vis (N·m)	Couple max. admissible (N·m)	Poussée axiale admissible (kN)	Serrage de la vis (N·m)	Couple max. admissible (N·m)	Poussée axiale admissible (kN)	Serrage de la vis (N·m)	
5	7	2.8	1.9	4.6	1.84	1.9	2.8	1.13	0.88	18
6	14	4.67	1.9	10.7	2.49	1.9	7.8	2.54	0.88	26
8	22	5.6	1.9	16.6	4.1	1.9	10.7	2.64	0.88	35
10	25	5.6	1.9	19.6	3.9	1.9	12.7	2.55	0.88	40
11	30	5.6	1.9	22.5	4.0	1.9	14.7	2.64	0.88	45
12	50	8.41	3.9	36.2	5.9	3.9	24.5	4.02	2.7	53
14	65	9.46	3.9	50.9	7.2	3.9	28.4	4.02	2.7	61
15	70	9.46	3.9	54.8	7.3	3.9	30.4	4.02	2.7	66
16	75	9.46	3.9	58.8	7.3	3.9	32.3	4.02	2.7	75
17	110	12.6	3.9	76.4	8.9	3.9	46.1	5.39	2.7	75
18	115	12.6	3.9	80.3	8.9	3.9	49.0	5.39	2.7	80
19	120	12.6	3.9	85.2	8.9	3.9	51.9	5.39	2.7	81
20	220	21.6	8.8	183.0	18.3	8.8	121.6	12.16	5.6	144
22	290	26	8.8	201.0	21.0	8.8	133.4	12.06	5.6	165
24	320	26	8.8	252.0	21.0	8.8	146.1	12.16	5.6	180
25	350	27.2	8.8	264.0	21.1	8.8	153.0	12.16	5.6	188
28	380	27	8.8	295.0	21.1	8.8	213.8	15.20	5.6	195
30	410	27	8.8	396.0	26.4	8.8	229.5	15.30	5.6	208
32	440	27	8.8	423.0	26.4	8.8	244.2	15.20	5.6	219
35	720	41.1	15.7	548.0	31.3	15.7	301.1	17.16	9.6	325
38	770	40.2	15.7	741.0	39.0	15.7	409.0	30.11	9.6	362
40	810	40.2	15.7	779.0	39.0	15.7	430.6	30.11	9.6	380
42	850	40.2	15.7	823.0	39.2	15.7	452.2	30.11	9.6	405
45	1200	52.9	15.7	882.0	46.5	15.7	484.6	30.11	9.6	435
48	1200	48.2	15.7	1117.0	54.4	15.7	620.9	30.11	9.6	460
50	1500	56.3	15.7	1362.0	55.0	15.7	754.3	30.11	9.6	485
55	1600	56.3	15.7	1512.0	58.9	15.7	-	-	-	520
60	1900	60.3	15.7	1768.0	-	15.7	-	-	-	560
65	2000	60.3	15.7	1915.0	-	15.7	-	-	-	610
70	3400	94.8	37.3	2920.0	83.6	37.3	-	-	-	845



Rigidité de l'arbre et du moyeu Pour les étapes de conception, voir **P.1489**.

kgf/mm²=MPaX0.101972

d	Arbre Pression de la surface latérale MPa	Pression de la surface latérale du moyeu MPa	MLM, MLMB			Profondeur d'usinage du moyeu L1	MLMP			Profondeur d'usinage du moyeu L1	Arbre Pression de la surface latérale MPa	Pression de la surface latérale du moyeu MPa	MLHS			Profondeur d'usinage du moyeu L1	
			H D.E. min. du moyeu				H D.E. min. du moyeu						H D.E. min. du moyeu				
			206	294	392		206	294	392				206	294	392		
5	249	81	25	22	20	13	217	51	21	20	13	175	42.0	20	19	18	13
6	318	102	33	28	25	14	258	59	26	24	14	251	58.0	26	24	22	14
8	239	107	38	31	28	15	244	92	35	29	15	196	62.6	28	26.0	25.5	15
10	186	96	39	33	30	16	192	77	31	29	16	153	55.9	29	27.5	27.5	16
11	170	92	39	34	31	16	174	73	36	30	16	139	53.6	30	28.5	28.5	16
12	233	115	49	40	36	17	239	91	43	36	17	191	67.1	35	32.0	30.5	17
14	225	120	55	44	39	17	204	84	44	38	17	164	62.3	36	34.0	32.5	17
15	186	106	52	43	39	18	205	90	47	40	18	136	55.0	37	33.5	33.5	18
16	166	98	51	43	39	18	193	87	48	41	18	121	50.9	38	35.0	35.0	18
17	197	121	61	49	43	19	205	97	53	44	19	144	63.1	40	37.0	36.0	19
18	186	118	62	49	44	19	166	93	54	45	19	136	61.2	40	37.0	36.0	19
19	177	114	62	50	45	19	184	91	55	46	19	129	59.2	42	39.0	38.0	19
20	234	139	87	64	56	23	213	97	64	54	23	165	69.8	51	47.0	44.0	23
22	256	159	112	74	62	24	193	92	65	56	24	150	66.3	53	49.0	46.0	24
24	217	142	98	72	62	24	121	105	74	61	24	128	59.2	54	50.0	48.0	24
25	216	137	96	72	62	24	212	102	75	62	24	122	54.5	54	51.0	49.0	24
28	192	127	95	74	65	25	212	107	82	68	25	136	63.7	60	55.0	53.0	25
30	179	122	95	75	67	26	198	102	86	69	26	127	61.1	62	57.0	55.0	26
32	156	110	91	75	67	26	192	103	87	73	26	110	55.4	63	59.0	57.0	26
35	204	138	129	95	83	28	207	105	100	83	28	107	51.4	72	67.0	67.0	28
38	178	125	122	95	84	28	208	110	109	89	28	119	59.5	79	73.0	70.0	28
40	164	118	119	95	85	29	202	113	113	92	29	110	56.2	80	74.0	72.0	29
42	156	114	120	97	87	29	192	106	114	94	29	105	54.4	82	76.0	74.0	29
45	186	140	154														